

Добиваясь наилучшей аппроксимации данных рис. 1 зависимостью (2) (рис. 2), находим значение  $\eta=0.55$  Пз. В капле с такими параметрами вязкие силы полностью подавляют инерционные, и в уравнении (1) следует положить  $A=0$ . Решение этого уравнения с начальным условием  $x(0)=x_0$  при  $H=H_0$ , которое определяется из его стационарного решения, получено численно методом Эйлера. Результаты представлены на рис. 1 сплошными линиями. Причина несколько более плавного нарастания удлинения в эксперименте по сравнению с теорией может заключаться в зависимости вязкости от напряженности поля: поле в капле с увеличением ее длины нарастает.

Если инерционным слагаемым пренебречь нельзя, то процесс имеет колебательный характер (рис. 3). Здесь изображены графики переходного процесса, соответствующего кривой 1 на рис. 1, при различном соотношении вязких, капиллярных и инерционных сил:  $B=5$  (1),  $10$  (2),  $40$  (3). В качестве масштаба времени в (1) взята обратная частота свободных колебаний невязкой капли

$$t_0 = \left( \frac{8\zeta}{\rho R_0^3} \right)^{1/2}, \quad B = 4\eta \left( \frac{8}{\zeta \rho R_0} \right)^{1/2}, \quad A = 1.$$

Решение получено методом Рунге—Кутта.

### Литература

- [1] Архипенко В. Н., Барков Ю. Д., Баштовой В. Г. Магнитная гидродинамика, 1978, № 3, с. 131—134.
- [2] Блум О. Я., Михайлов Ю. А., Озоле Р. Я. Тепло- и массообмен в магнитном поле. Рига: Зиннатне, 1980. 355 с.
- [3] Bacri J. C., Salin D. — J. Physique (Lettres), 1982, v. 43, N 17, p. 649—654.
- [4] Bacri J. C., Salin D. — J. Physique (Lettres), 1983, v. 44, N 13, p. 415—420.
- [5] Цеберс А. О. Магнитная гидродинамика, 1985, № 1, с. 25—34.

Белорусский  
политехнический институт  
Минск

Поступило в Редакцию  
23 марта 1987 г.  
В окончательной редакции  
8 февраля 1988 г.

УДК 539.3

Журнал технической физики, т. 58, в. 7, 1988

## О МАГНИТОУПРУГИХ И МЕХАНИЧЕСКИХ СВОЙСТВАХ СОЕДИНЕНИЙ СИСТЕМЫ Tb—Fe

Е. В. Долгих, Г. Н. Федюкина, Л. Н. Бабушкина

Интерметаллические соединения  $RFe_2$  ( $R$ —Tb, Sm, Dy), обладающие такими уникальными свойствами, как гигантская магнитострикция ( $10^{-3}$ ) и огромный магнитомеханический гистерезис [1—3], не находят практического применения из-за низкой механической прочности и плохой обрабатываемости.

В предлагаемой работе сообщаются результаты исследования магнитоупругих и механических свойств упрочненных образцов системы Tb—Fe.

Сплавы выплавляли в электродуговой печи. Расплавленный металл сливали в цилиндрическую форму. Деформацию образцов (диаметром 6 и длиной 10 мм) измеряли тензометрическим методом, применяя тензодатчики типа КФ-5 (база 1 мм). Для проведения механических испытаний образцы крепили к стальным наконечникам с помощью диффузионной сварки.

Как видно из таблицы, механическая прочность на разрыв образцов состава  $Tb_{1.2}Fe_{1.8}$ , упрочненных эвтектикой (образцы 4—6), увеличивается по сравнению с  $TbFe_2$  (образцы 1—3) в  $\sim 10$  раз, а дополнительное упрочнение медью сплавов этого же состава повышает их механическую прочность, в частности на разрыв, до 200 МПа, что уже близко к пределу текучести железа. При этом сохраняются достаточно высокие значения магнитоупругих характеристик (см. таблицу).

Высокая механическая прочность высокомагнитострикционных сплавов (образцы 7—9) позволила впервые экспериментально получить полную замкнутую петлю магнитомеханиче-

Номер образца	Состав образца	Способ упрочнения	$\lambda_{\parallel} \text{ см} \cdot 10^6$	$\epsilon_r \cdot 10^6$	$\Delta\lambda/dH \cdot 10^6 (\text{А/м})^{-1}$	$\sigma_{\text{раст}}^{\text{упр}}, \text{ МПа}$	$\sigma_{\text{сжат}}^{\text{упр}}, \text{ МПа}$
1—3	TbFe <sub>2</sub>	Неупрочненный	1680	420	30	4—5	150—200
4—6	Tb <sub>1.2</sub> Fe <sub>1.8</sub>	Эвтектическим расплавом	1080	400	15—20	30—40	300
7—9	Tb <sub>1.2</sub> Fe <sub>1.8</sub>	Медь	1060	600	10	190—200	500

Примечание.  $\lambda_{\parallel} \text{ см}$  — продольная магнитострикция, обусловленная процессами смещения доменных границ (при  $H=1600 \text{ кА/м}$ );  $\epsilon_r$  — остаточная деформация ММГ (при  $\sigma_{\text{сжат}}=80 \text{ МПа}$ );  $\Delta\lambda/dH$  — максимальная крутизна зависимости  $\lambda_{\parallel}(H)$ ;  $\sigma_{\text{раст}}^{\text{упр}}$  — прочность на разрыв (до разрушения);  $\sigma_{\text{сжат}}^{\text{упр}}$  — прочность на сжатие (до разрушения). Числовые значения параметров получены усреднением по трем образцам.

ског гистерезиса (ММГ) магнетика при его одноосном сжатии—растяжении. Петля ММГ при амплитуде магнитного поля  $H=0$  показана на рис. 1. Зависимость деформации  $\epsilon$  образцов 7—9 от нагрузки  $\sigma$  при  $H=1600 \text{ кА/м}$  ( $\vec{H} \parallel \vec{\sigma}$ ) представляет собой практически прямую линию, наклон которой определяется в основном упругими свойствами сплава.

Справедливость этого подтверждается следующим. Намагниченность TbFe<sub>2</sub> в поле 1600 кА/м составляет 630 кА/м, а намагниченность насыщения  $J_s=810 \text{ кА/м}$ . Следовательно, выполняется условие для четырехосного магнетика [4].

$$J_{\text{см}} = 0.835 J_s = 676 \text{ кА/м.}$$

Значит, процессы смещения доменных границ, которыми в основном определяются механострикционные процессы в TbFe<sub>2</sub>, имеющего ось легкого намагничивания (ОЛН) <111>, в поле  $H=1600 \text{ кА/м}$  в основном заканчиваются. При этом энергия магнитного поля, стабилизирующая векторы магнитных моментов, более чем на порядок превышает энергию упругих напряжений

$$\mu_0 H J_s \gg \lambda_{\parallel \text{ см}} \sigma. \quad (1)$$

Действительно, подставляя в (1) численные значения:  $\mu_0=4 \cdot 10^{-7} \text{ Г/м}$ ,  $H=1600 \text{ кА/м}$ ,  $\pi_{\parallel \text{ см}}=1.18 \cdot 10^{-3}$ ,  $\sigma=60 \text{ МПа}$ , получаем:  $\mu_0 H J_s=1.6 \cdot 10^6 \text{ Дж/м}^3$ ,  $\lambda_{\parallel \text{ см}} \sigma=0.7 \cdot 10^6 \text{ Дж/м}^3$ .

Сопоставление величин  $\lambda_{\parallel \text{ см}}$ ,  $\lambda_m^+$  и  $\lambda_m^-$  (см. таблицу и рисунок) показывает, что векторы  $J_s$  имеют некоторое преимущественное распределение в направлениях ОЛН, составляющих наименьший угол с осью образца, т. е. последний имеет в этом направлении магнитную

Зависимость деформации  $\epsilon$  образца Tb<sub>1.2</sub>Fe<sub>1.8</sub> от величины механических напряжений  $\sigma$  при внешнем магнитном поле  $H=0$  (1) и 1600 кА/м (2).  $\vec{H} \parallel \vec{\sigma}$ .

текстуру, учет которой дает величины  $\lambda_m^+$  и  $\lambda_m^-$  для истекстурованного материала соответственно  $\sim 824 \cdot 10^{-6}$  и  $680 \cdot 10^{-6}$  вместо предсказываемых теоретически [4]  $1400 \cdot 10^{-6}$  и  $700 \cdot 10^{-6}$ . Следовательно, величина нагрузки  $\sigma_s$ , при которой завершаются процессы смещения доменных границ, для  $\lambda_s \sigma < 0$  (сжатие) равна  $\sim 50 \div 60 \text{ МПа}$ , а в случае  $\lambda_s \sigma > 0$  при этой же величине напряжений механострикционные процессы еще далеки от завершения. Действительно, кривая  $\epsilon(\sigma)_{H=0}$  в случае растяжения при  $\sigma=50 \div 60 \text{ МПа}$  имеет максимальную крутизну (кривая 1), а при сжатии ее наклон при той же  $\sigma$  близок к наклону зависимости  $\epsilon(\sigma)_{H=1600 \text{ кА/м}}$  (кривая 2).

Кроме того, для соединений TbFe<sub>2</sub>, SmFe<sub>2</sub> экспериментально установлены следующие соотношения:

$$\begin{aligned} \lambda_s \sigma < 0, \quad \epsilon_r \simeq 1/2 \lambda_m^+, \\ \lambda_s \sigma < 0 \quad \epsilon_r \simeq 1/4 \lambda_m^-. \end{aligned}$$

Все это позволяет предположить, что механострикционные процессы, происходящие в образце под действием магнитного поля и упругих напряжений, при  $\lambda_s \sigma > 0$  имеют особенности по сравнению со случаем  $\pi_s \sigma < 0$ .

Таким образом, в данной работе впервые удалось наблюдать способность интерметаллических соединений системы Tb—Fe, обладающих уникальными магнитоупругими свойствами, выдерживать растягивающие напряжения до 200 МПа (против 3—7 МПа для TbFe<sub>2</sub>).

и сжимающие более 500 МПа. Это открывает возможности их широкого практического применения. Впервые полученная экспериментально полная петля ММГ при одноосном сжатии—растяжении образца способствует более полному изучению механострикционных процессов в магнетике и проверке существующих теоретических предпосылок.

## Литература

- [1] Белов К. П. Редкоземельные магнетики и их применение. М.: Наука, 1980, с. 239.
- [2] Новиков Б. Ф., Долгих Е. В. ЖТФ, 1983, т. 53, № 11, с. 1877—1879.
- [3] Новиков Б. Ф., Долгих Е. В. А. с. 853434. — Опубл. в Б. И., 1981, № 29.
- [4] Вонсовский С. В., Шур Я. С. Ферромагнетизм. М.; Л.: ГИТТЛ, 1948, с. 816.

Тюменский индустриальный институт  
им. Ленинского комсомола

Поступило в Редакцию  
8 апреля 1987 г.

УДК 621.386.2

Журнал технической физики, т. 58, в. 7, 1988

## ВЛИЯНИЕ ДЕГРАДАЦИИ НА ШУМОВЫЕ ХАРАКТЕРИСТИКИ ОДНОЧАСТОТНЫХ ИНЖЕКЦИОННЫХ ЛАЗЕРОВ НА GaAlAs

Н. Б. Корнилова, В. Н. Морозов, Р. Ф. Набиев, Ю. М. Попов, В. Р. Шидловский

В настоящее время большой интерес уделяется изучению влияния времени наработки на различные характеристики инжекционных лазеров, в том числе и шумовые. В данной работе приводятся результаты исследования влияния деградации на флуктуации мощности и фазы одночастотных инжекционных лазеров на двойной гетероструктуре GaAlAs с подложкой в форме террасы [1].

Экспериментальная установка позволяла одновременно измерять спектральную плотность флуктуаций мощности в диапазоне частот 400 Гц—1 ГГц с помощью  $p-i-n$  фотодиода, селективного микровольтметра и спектра-анализатора СК4-58, а также ширину и форму линий генерации с помощью сканирующих конфокальных интерферометров Фабри—Перо (СКИФП) с областью свободной дисперсии 500 МГц и 7.5 ГГц соответственно. Время наработки лазеров составляло 300—400 ч и определялось наблюдением изменения шумовых характеристик при сохранении одночастотного режима генерации с относительной мощностью боковых продольных мод в спектре не более 5 %.

На рис. 1 представлены ватт-амперные характеристики (а) и зависимости спектральной плотности флуктуаций мощности (б) на частоте 1 ГГц в полосе 120 кГц от тока накачки (нагрузочное сопротивление фотоприемника  $R=50$  Ом) для лазеров до (1) и после (2) наработки. Видно, что происходит существенное увеличение уровня шума на частоте 1 ГГц; при этом измеренные на частотах менее 50 МГц значения спектральной плотности флуктуаций при одинаковых значениях мощности изменились не более чем на 10 % до и после 400 ч работы лазеров с помощью излучения 4 мВт с грани.

На рис. 2 представлена форма линии генерации (два порядка СКИФП с областью свободной дисперсии 7.5 ГГц) при мощности лазеров 3 мВт с грани до (а) и после (б) наработки. Видно, что происходит существенное увеличение мощности релаксационных боковых лепестков [2, 3], связанное с увеличением спектральной плотности флуктуаций мощности в резонансе. При этом ширина линии изменяется весьма незначительно (от 80 до 90 МГц до и после наработки). При этом практически не наблюдается изменения значения резонансной частоты.

Таким образом, на начальном этапе деградации в GaAlAs лазерах наблюдается только увеличение уровня шума в резонансном релаксационном максимуме без изменения шумовых

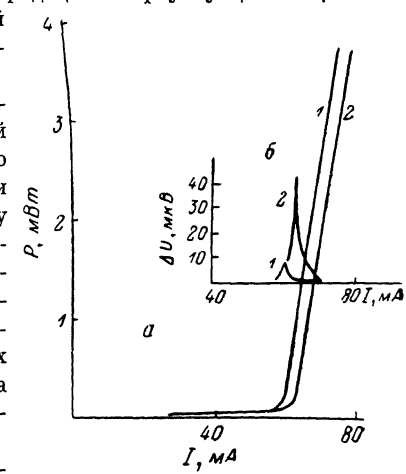


Рис. 1.